



## زمین فشار-دماسنجه تودهی گرانیت‌وئیدی سرویان (شمال شرق دلیجان) با کاربرد شیمی کانی‌های آمفیبیول و فلدسپار

محبوبه جمشیدی بدر<sup>۱\*</sup>، مهناز خادمی پارسا<sup>۲</sup>، فریبرز مسعودی<sup>۲</sup>

۱- گروه زمین‌شناسی، دانشگاه پیام نور، صندوق پستی ۳۶۹۷-۹۳۹۵-۱۹۳۹۷ تهران، ایران.

۲- گروه زمین‌شناسی، دانشکده علوم، دانشگاه شهید بهشتی، تهران، ایران.

(دریافت مقاله: ۹۳/۱۱/۱۵، نسخه نهایی: ۹۴/۲/۲۰)

**چکیده:** تودهی نفوذی سرویان در شمال شرق دلیجان و در کمربند ماگمایی ارومیه-دخت رخمنون دارد. این توده شامل واحدهای اسیدی و حدواسط بوده و از سنگ‌های گرانیت، گرانودیوریت، تونالیت و کوارتزدیوریت تشکیل شده است. کانی‌های اصلی تشکیل دهنده توده نفوذی پلازیوکلاز، آمفیبیول، بیوتیت، کوارتز و فلدسپار پتابسیم است. در این پژوهش بر اساس تجزیه نقطه‌ای کانی‌های آمفیبیول و فلدسپار، زمین فشار-دماسنجه سنگ‌های تونالیتی و کوارتزدیوریتی تودهی گرانیت‌وئیدی سرویان تعیین شده است. ترکیب آمفیبیول‌های بررسی شده، در گروه آمفیبیول‌های کلسیک و از نوع منیزیو-هورنبلند تا اکتینولیت هورنبلند قرار می‌گیرند. پلازیوکلاز‌های منطقه در گستره‌ی آندزین تا لاپرادوریت قرار دارند. میانگین فشار تشکیل سنگ‌های تونالیتی، کوارتزدیوریتی و آمفیبیول‌های نسل اول که به شکل ادخال در آمفیبیول‌های نسل دوم قرار دارند، با استفاده از روش فشارسنجه آلومینیوم در هورنبلند به ترتیب ۱/۴ و ۲/۶ کیلوبار برآورد شد. میانگین دمای تشکیل این سنگ‌ها با استفاده از روش زمین دماسنجه هورنبلند-پلازیوکلاز نیز به ترتیب ۷۵۹/۷، ۷۹۵ و ۸۷۵/۲ درجه‌ی سانتی‌گراد محاسبه شدند. تودهی نفوذی سرویان در محیطی با گریزندگی اکسیژن بالا تشکیل شده و میزان کمی  $\text{Log fO}_2$  در حدود ۱۱,۰۶ تا ۱۵,۷۶ است.

**واژه‌های کلیدی:** دما-فشارسنجه؛ آمفیبیول؛ پلازیوکلاز؛ گریزندگی اکسیژن؛ دلیجان.

در هورنبلند و زمین دماسنجه آمفیبیول-پلازیوکلاز برای تعیین فشار و دمای جایگیری گرانیت‌وئیدها ایده‌آل است [۳,۲]. تودهی نفوذی سرویان، در منطقه‌ی دلیجان، در بخش میانی کمربند ماگمایی ارومیه دختر قرار دارد. این توده از کانی‌های پلازیوکلاز، آمفیبیول، بیوتیت، کوارتز، فلدسپار پتابسیم، اسفن، آپاتیت، مگنتیت و ایلمنیت تشکیل شده است. تشکیل دوگانه‌ی کانی‌ای یاد شده برای زمین- فشارسنجه آلومینیوم در هورنبلند و زمین- دماسنجه آمفیبیول-پلازیوکلاز مناسب است [۲, ۴-۸]. هدف از این پژوهش بررسی ترکیب شیمیایی کانی آمفیبیول

### مقدمه

امروزه با بررسی ترکیب شیمیایی کانی‌ها می‌توان شرایط فیزیکوشیمیایی حاکم در هنگام جایگیری توده‌های نفوذی را بررسی کرد. در این رابطه، کاربرد ترکیب شیمیایی کانی آمفیبیول در تعیین شرایط محیطی تشکیل گرانیت‌وئیدها موضوعی شناخته شده است [۱]. این کانی در دامنه‌ی گستره‌ای از شرایط فشار و دما ظاهر می‌شود و از سازندگان عادی سنگ‌های آذرین به ویژه سنگ‌های آذرین آهکی- قلیایی و سنگ‌های دگرگونی به شمار می‌آید. آمفیبیول مناسب‌ترین کانی برای دما- فشارسنجه بوده و زمین فشارسنجه آلومینیوم

\*نویسنده مسئول، تلفن: ۰۹۱۲۵۳۵۷۵۱۳، نامبر: ۰۲۶۴۵۳۸۳۴۴۴، پست الکترونیکی: m\_jamshidi@pnu.ac.ir

مختلف به درون این واحد نفوذ کرده‌اند. واحدهای آتشفسانی واسته به دو سن ائوسن و پلیوسن هستند [۹]، که سنگ‌های آتشفسانی آندزیتی بازالتی ائوسن در شمال منطقه و واحدهای آتشفسانی پلیوسن به صورت گنبدهای آتشفسانی و نیمه-آتشفسانی با ترکیب اسیدی در مرکز منطقه بروزد دارند، سنگ‌های آذرآواری تیره رنگ با ترکیب حدواسط و به سن پلیوسن نیز در هسته‌ی یک ناودیس در غرب منطقه قابل مشاهده است [۹] (شکل ۱).

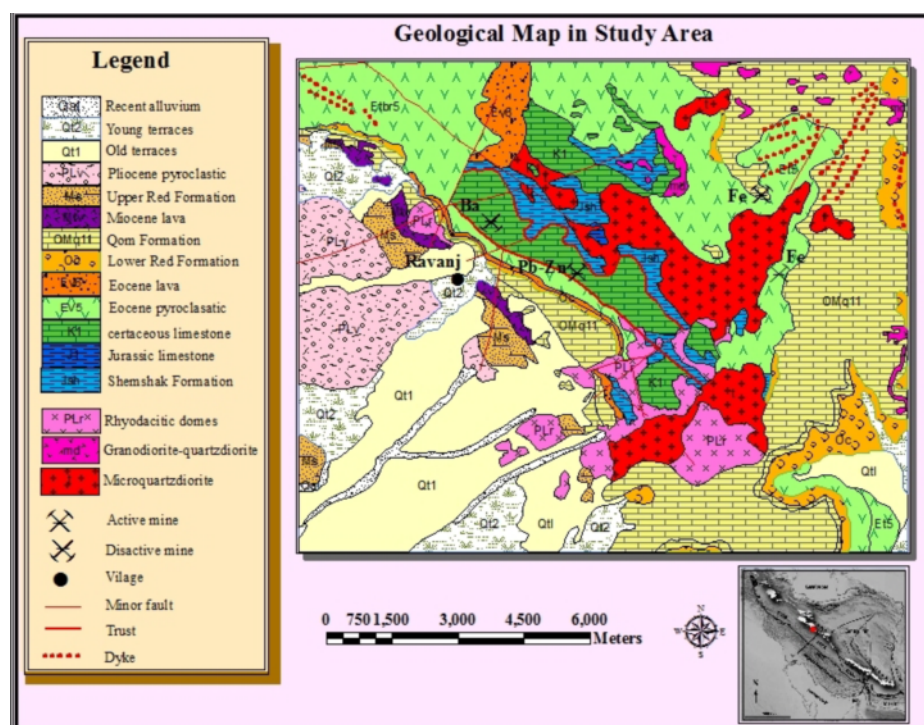
توده نفوذی سرویان در مجاور گسل بیدهند رخمنون دارد. با ادامه‌ی جابه‌جایی در محل پله‌شدگی پوششی در راستای این گسل، فضای کششی محلی در بخش میانی گسل ایجاد شده و توده‌های نفوذی جوان‌تر در آن نفوذ کرده‌اند [۱۰]. توده‌ی نفوذی سرویان با ماهیت متالومین، از نظر سرشت مامگامایی در گستره‌ی آهکی-قلایایی قرار می‌گیرد و در محیط زمین‌ساختی حاشیه‌ی فعال قاره‌ای تشکیل شده است [۱۱]. این توده را که سنگ‌های توپالیت، گرانات‌دوریت، گرانیت و کوارتز‌دوریت تشکیل داده است. در اثر نفوذ این توده در سنگ‌های آتشفسانی و آذرآواری‌های ائوسن، سنگ‌های میزبان در مجاور این توده دستخوش دگرگونی مجاورتی شده و سنگ‌های دگرگونی هورنفلس و اسکارن تشکیل شده‌اند.

و پلاژیوکلاز در توده‌ی گرانیتوئیدی سرویان شمال شرق دلیجان، به منظور شناخت مسائل سنگ‌زایی و تکتونوماگمایی این توده است.

در این خصوص با ارائه داده‌های آزمایشگاهی ریزپردازش الکترونی، فشار و دمای جایگیری توده‌ی سرویان به روش‌های مختلف محاسبه شده است.

### زمین‌شناسی عمومی

توده‌ی نفوذی سرویان در استان مرکزی و در ۱۵ کیلومتری شمال شرقی دلیجان و بین طول‌های جغرافیایی  $40^{\circ} ۴۰'$  تا  $۴۹^{\circ} ۵۰'$  شرقی و عرض‌های جغرافیایی  $۳۴^{\circ} ۷'$  تا  $۳۴^{\circ} ۱۳'$  شمالی قرار گرفته است و از نظر زمین‌ساختی در منطقه‌ی ایران مرکزی و زیر منطقه‌ی ارومیه دختر واقع شده و بخشی از نقشه‌ی زمین‌شناسی ۱/۱۰۰۰۰ کهک را تشکیل می‌دهد [۹]. منطقه‌ی مورد بررسی شامل تنابوی از سنگ‌های رسوبی، پیروکلاستیک و آتشفسانی است که به وسیله‌ی صفحات دایکی و توده‌های نفوذی و نیمه‌عمیق قطع شده‌اند. سنگ‌های پیروکلاستیک به سن ائوسن شامل تنابوی از توفه‌های سبز، شیل و سیلت استون همراه با میان لایه‌هایی از آهک ماسه‌ای فسیل‌دار و گدازه‌های آندزیتی است که به طور گستردگی در بخش‌های مرکزی بروزد دارند. دایک‌های بازی در بخش‌های



شکل ۱ نقشه‌ی زمین‌شناسی و موقعیت جغرافیایی منطقه‌ی مورد بررسی بر گرفته از نقشه ۱/۱۰۰۰۰ کهک [۹].

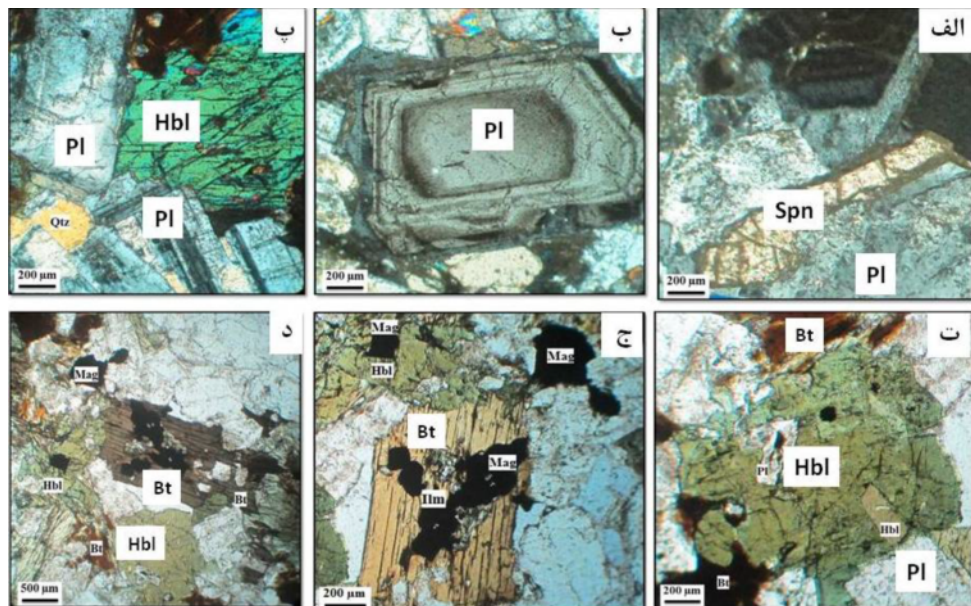
برخوردارند. همچنین ادخال‌هایی از آپاتیت و هورنبلند سبز در بلورهای پلازیوکلاز دیده می‌شوند. در برخی از نقاط بلورهای پلازیوکلاز به صورت همزیست در مجاورت بلورهای آمفیبول قرار گرفته‌اند (شکل ۲ پ). حاشیه بعضی از بلورها در اثر دگرسانی به کلریت و اکتینولیت تبدیل شده است. ادخال‌هایی از بلورهای ریز آمفیبول در آمفیبول‌های درشت بلورتر مشاهده می‌شوند و بافت پوئی کلیتیک ایجاد شده است. ادخال‌های ریز بلور آمفیبول‌ها در اعماق بیشتری هسته‌گذاری و رشد کرده‌اند، که به عنوان آمفیبول‌های نسل اول در نظر گرفته شده‌اند. با صعود مagma و کاهش فشار، رشد آمفیبول‌های اولیه متوقف و هسته‌گذاری جدیدی آغاز شده است، رشد سریع هسته‌های آمفیبول‌های نسل دوم سبب احاطه شدن آمفیبول‌های نسل اول به وسیله‌ی آمفیبول‌های نسل دوم شده است. (شکل ۲ ت).

بر پایه تجزیه نقطه‌ای ریزپردازش الکترونی، کانی‌های کدر موجود در سنگ‌های تونالیتی و کوارتزدیوریت‌ها بیشتر از نوع مگنتیت و ایلمنیت بوده که بر اساس مشخصات شکل بلوری، این کانی‌ها اولیه هستند و در برخی نقاط، بخشی از این کانی‌ها به همراه آپاتیت به وسیله‌ی آمفیبول و بیوتیت در بر گرفته شده‌اند (شکل ۲ ج) که نشانگر تقدم تبلور مگنتیت و ایلمنیت است.

### سنگ‌شناسی

از نظر سنگ‌شناسی تونالیت‌ها و کوارتزدیوریت‌ها بیشترین بخش توده‌ی سرویان را تشکیل می‌دهند. آمفیبول تنها کانی مافیک در تونالیت‌هاست، در حالی که در کوارتزدیوریت‌ها علاوه بر آمفیبول، بیوتیت‌ها به میزان فراوان حضور داشته و میزان بیوتیت‌ها بیشتر از آمفیبول‌هاست. بافت اصلی در تونالیت‌ها و کوارتزدیوریت‌ها، دانه‌دانه متوسط است و بافت پوئی کلیتیک نیز به صورت بافت فرعی مشاهده می‌شود. این سنگ‌ها از کانی‌های اصلی پلازیوکلاز، کوارتز، هورنبلند، بیوتیت به همراه کانی‌های فرعی ارتوکلاز، آپاتیت، اسفن (شکل ۲ الف)، مگنتیت و ایلمنیت و کانی‌های دگرسانی اپیدوت و سرسیت تشکیل شده‌اند.

پلازیوکلازها کانی غالب این سنگ‌ها هستند که به صورت ریز تا درشت بلور دیده می‌شوند. اغلب درشت بلورهای پلازیوکلاز دارای ساخت منطقه‌ای هستند (شکل ۲ ب) ولی پلازیوکلاز‌های ریز تا میان بلور بیشتر با ماکل بلی سنتیک شناخته می‌شوند. در مواردی تبدیل پلازیوکلاز به کربنات و سوسوریت مشاهده می‌شود. دگرسانی در بخش مرکزی درشت بلورهای پلازیوکلاز با بافت منطقه‌ای از شدت بیشتری



شکل ۲ (الف) بلور اسفن به عنوان کانی فرعی در تونالیت (نور XPL)، (ب) منطقه‌بندی در درشت بلور پلازیوکلاز در تونالیت (نور XPL)، (پ) بلورهای همزیست آمفیبول و پلازیوکلاز در نمونه تونالیتی (نور XPL)، (ت) ادخال آمفیبول و پلازیوکلاز ریز بلور به درون یک درشت بلور آمفیبول در کوارتزدیوریت (نور XPL)، (ج) ادخال کانی‌های مگنتیت و ایلمنیت در بیوتیت و آمفیبول در نمونه‌ی کوارتزدیوریت (نور PPL)، (د) بلورهای بیوتیت و آمفیبول به عنوان فاز مافیک نمونه‌های کوارتزدیوریتی (نور PPL). علائم اختصاری کانی‌ها از [۱۲].

پلازیوکلارز (۳۰ نقطه) و آمفیبول (۱۶ نقطه) سنگ‌های تونالیت (نمونه‌ی ۱۸۲) و کوارتزدیوریت (نمونه‌ی ۱۷۶) توده نفوذی سرویان در آزمایشگاه کانی‌شناسی مرکز تحقیقات فرآوری مواد معدنی ایران، با استفاده از EPMA، مدل SX100 ساخت شرکت Cameca فرانسه با ولتاژ شتابدهنده‌ی ۱۵KV و Fe<sup>3+</sup> شدت جریان 20nA انجام شده است. تفکیک مقادیر، Fe<sup>2+</sup> در فرمول ساختاری کانی آمفیبول با استفاده از روش‌های پیشنهادی [۱۴، ۱۳] انجام شده است (جدول ۱ و ۲).

کانی‌های بیوتیت که به صورت ریز تا میان بلور تیغه‌ای و صفحه‌ای شکل در کوارتزدیوریت‌ها به عنوان فاز اصلی مافیک حضور دارند (شکل ۲ د)، این بلورها به صورت شکل‌دار تا نیمه شکل‌دار بوده و در برخی نقاط در راستای رخ‌ها و شکستگی‌ها به کلریت تبدیل شده‌اند (علائم اختصاری کانی‌ها در شکل ۲ از [۱۲] است).

### روش بررسی

در این پژوهش مجموعاً ۴۶ تجزیه‌ی نقطه‌ای از کانی‌های

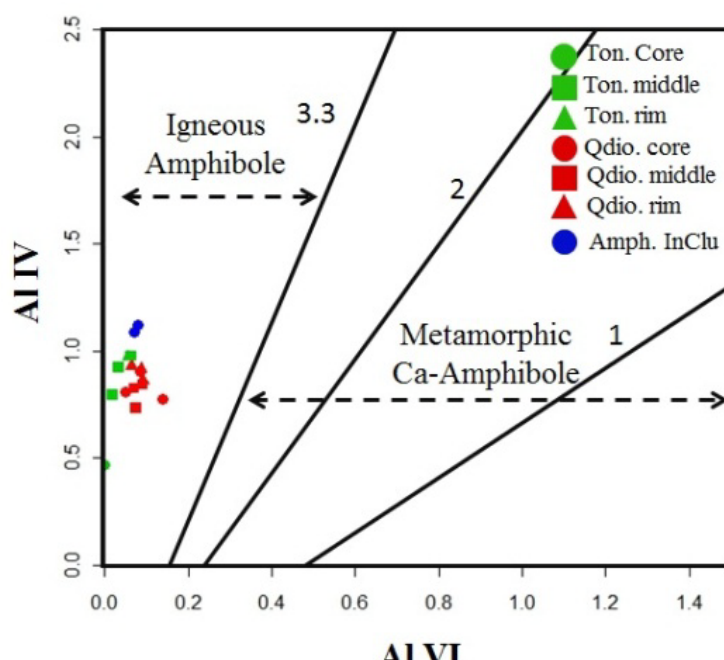
جدول ۱ نتایج ریزپردازش کانی‌های آمفیبول در سنگ‌های توده‌ی گرانیتوئیدی سرویان، حرف آخر نام نمونه‌ها شامل آنالیز: مرکز بلور (c)، حاشیه بلور (r) و حدوداً مرکز و حاشیه بلور (m) است.

	تونالیت‌ها								کوارتزدیوریت‌ها						آمفیبول‌های ادخال	
	182Ac	182Am	182Ar	182Bc	182Bm	182Br	182Cc	182Cm	182Cr	176Ac	176A1m	176Am	176A3m	176Ar	176Bc	176Br
SiO <sub>2</sub>	49.78	50.09	49.66	49.58	49.81	48.98	50.81	49.15	48.91	51.89	49.91	48.36	48.42	48.24	47.66	47.54
TiO <sub>2</sub>	1.26	0.96	1.07	1.25	1.22	1.36	1.05	1.3	1.26	0.25	0.88	1.24	1.27	1.29	1.62	1.67
Al <sub>2</sub> O <sub>3</sub>	5.03	4.72	5.61	5.88	5.27	5.89	5.46	5.43	5.83	2.72	4.78	5.55	6.07	6.00	6.76	7.03
FeO	11.5	12.24	12.56	12.77	12.7	12.25	12.9	11.85	12.14	18.31	13.78	13.99	13.84	13.79	13.82	13.76
MgO	16.07	15.24	15.37	15.27	15.7	15.22	15.8	15.09	15.53	17.44	15.99	15	15.02	14.99	14.72	14.67
MnO	0.35	0.4	0.36	0.35	0.32	0.3	0.32	0.35	0.3	0.93	0.42	0.34	0.39	0.38	0.32	0.32
CaO	11.53	11.35	11.35	11.6	11.45	11.36	11.42	11.44	11.5	5.54	10.87	11.11	10.99	10.97	11	11.05
Na <sub>2</sub> O	1.31	1.44	1.28	1.27	1.29	1.47	1.15	1.5	1.53	0.41	0.8	1.14	1.14	1.5	1.65	1.55
K <sub>2</sub> O	0.55	0.64	0.51	0.48	0.31	0.35	0.33	0.75	0.52	0.18	0.54	0.58	0.47	0.56	0.55	0.54
Sum	97.38	96.10	97.77	98.35	97.44	97.18	98.43	96.86	97.62	97.67	97.06	97.31	97.61	97.72	96.10	98.13
Si	7.193	7.267	7.140	7.095	7.176	7.083	7.225	7.159	7.07	7.534	7.206	7.176	7.025	7.027	6.913	6.881
Al <sup>IV</sup>	0.807	0.733	0.860	0.905	0.824	0.917	0.775	0.841	0.930	0.466	0.794	0.924	0.975	0.973	1.087	1.119
Al <sub>total</sub>	0.857	0.807	0.951	0.992	0.895	1.004	0.915	0.972	0.994	0.466	0.814	0.957	1.038	1.030	1.156	1.200
T	λ	λ	λ	λ	λ	λ	λ	λ	λ	λ	λ	λ	λ	λ	λ	λ
Al <sup>VI</sup>	-0.50	-0.74	-0.91	-0.87	-0.71	-0.87	-0.940	-0.91	-0.64	-0.000	-0.20	-0.34	-0.63	-0.57	-0.69	-0.80
Ti	-0.137	-0.105	-0.116	-0.125	-0.132	-0.148	-0.112	-0.142	-0.148	-0.027	-0.096	-0.136	-0.139	-0.141	-0.177	-0.182
Fe <sup>+3</sup>	-0.284	-0.380	-0.480	-0.478	-0.401	-0.468	-0.402	-0.328	-0.36	-0.262	-0.333	-0.311	-0.459	-0.323	-0.391	-0.452
Mg	2.461	2.295	2.294	2.257	2.371	2.280	2.248	2.276	2.346	3.774	3.441	2.711	2.247	2.254	3.182	3.164
Mn	-0.43	-0.49	-0.44	-0.42	-0.39	-0.37	-0.39	-0.43	-0.37	-0.114	-0.051	-0.042	-0.048	-0.047	-0.39	-0.39
Fe <sup>+2</sup>	1.026	1.97	0.975	1.002	0.985	0.980	0.960	1.015	1.046	0.823	1.060	1.306	1.044	1.177	1.141	1.083
Ca	-0.00	-0.00	-0.00	-0.00	-0.00	-0.00	-0.00	-0.00	-0.00	-0.00	-0.00	-0.00	-0.00	-0.00	-0.00	-0.00
C	5	5	5	5	5	5	5	5	5	5	5	5	5	5	5	5
Fe	-0.80	-0.108	-0.055	-0.037	-0.067	-0.034	-0.076	-0.000	-0.063	1.139	0.282	0.195	0.176	0.179	-0.144	-0.131
Ca	1.785	1.764	1.749	1.779	1.768	1.760	1.740	1.782	1.781	-0.861	1.682	1.742	1.708	1.712	1.710	1.714
Na	-0.135	-0.227	-0.197	-0.184	-0.165	-0.206	-0.184	-0.218	-0.152	-0.000	-0.37	-0.63	-0.16	-0.109	-0.146	-0.155
B	2	2	2	2	2	2	2	2	2	2	2	2	2	2	2	2
Ca	-0.00	-0.00	-0.00	-0.00	-0.00	-0.00	-0.00	-0.00	-0.00	-0.00	-0.00	-0.00	-0.00	-0.00	-0.00	-0.00
Na	-0.223	-0.178	-0.160	-0.168	-0.195	-0.206	-0.133	-0.205	-0.277	-0.115	-0.187	-0.261	-0.205	-0.315	-0.318	-0.280
K	-0.101	-0.118	-0.094	-0.088	-0.057	-0.065	-0.060	-0.139	-0.096	-0.033	-0.099	-0.108	-0.087	-0.104	-0.102	-0.100
Sum A	-0.234	-0.296	-0.254	-0.256	-0.252	-0.271	-0.193	-0.245	-0.368	-0.149	-0.287	-0.369	-0.292	-0.419	-0.419	-0.379
cations Sum	15.33	15.29	15.25	15.25	15.25	15.27	15.19	15.14	15.26	15.14	15.28	15.36	15.29	15.41	15.41	15.37

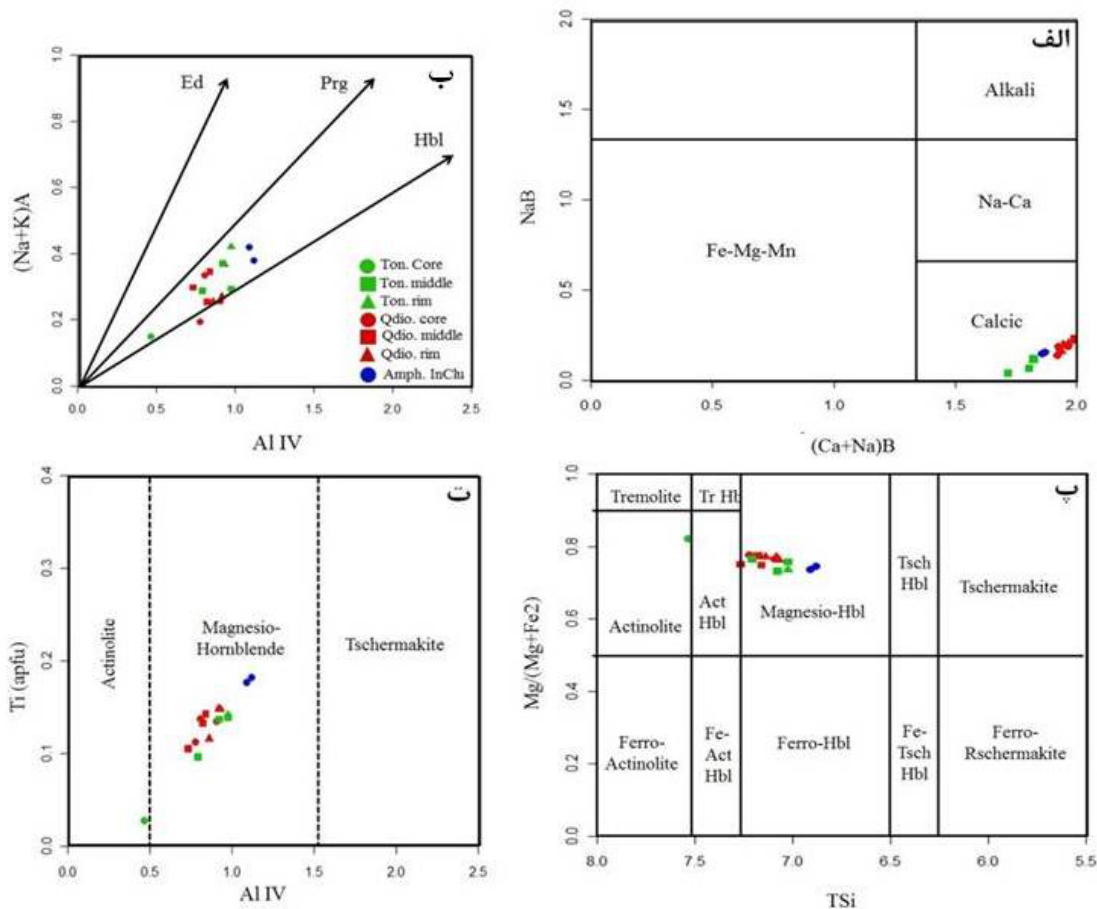
هورنبلند قرار می‌گیرند (شکل ۴-الف، ب، پ، ت). تغییر ترکیب از منیزیوهومنبلند در مرکز آمفیبول تا اکتینولیت آمفیبول در حاشیه آن، می‌تواند نشان‌دهنده‌ی تغییر شرایط فیزیکوشیمیایی مانگما در آخرین مراحل تبلور آن باشد [۲۲]. در نمودار تغییرات  $Ti$  نسبت به  $Al^{IV}$  (شکل ۵ الف) همه‌ی آمفیبول‌ها کمتر از  $0.5$  اتم  $Ti$  در فرمول ساختاری خود دارند. در این نمودار با کاهش  $Al$  چهار وجهی، میزان  $Ti$  در آمفیبول‌ها کاهش می‌باید که این ناشی از افزایش  $Si$  در ساختار بلوری بوده و معرف پیشرفت جدایش مانگما است [۲۳]. چنانکه در (شکل ۵ ب) دیده می‌شود، آمفیبول‌های مورد بررسی در یک روند خطی قرار می‌گیرند که نشان می‌دهد تبع ترکیبی در آمفیبول‌های موجود در سنگ‌های منطقه تابع میزان  $Al^{IV}$  و جایگزینی کاتیون‌های  $(Na+K)_A$ ,  $Ti$ ,  $Al^{VI}$  در موقعیت هشت‌وجهی است [۲۴]. رابطه‌ی خطی مستقیم بین  $Al^{IV}$  و  $Al^{VI}$  در آمفیبول‌های موجود بررسی بیانگر تفاوت سیستماتیک میزان آلومینیوم آمفیبول‌های سنگ‌های مختلف است (شکل ۵ پ) [۲۵].

### شیمی کانی‌ها

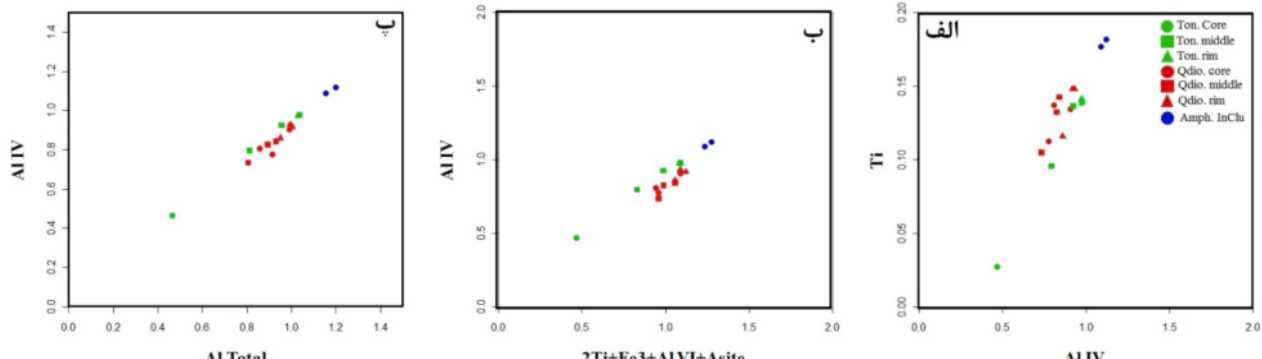
آمفیبول: در مجموعه‌ی نفوذی سرویان، آمفیبول تنها کانی مافیک در سنگ‌های تونالیتی است و در سنگ‌های کوارتز دیوریتی همراه بیوتیت حضور دارد. نتایج آنالیز نقطه‌ای آمفیبول‌های موجود در سنگ‌های نفوذی منطقه به همراه محاسبه فرمول ساختاری آن‌ها به روش [۱۲] در جدول ۱ آمداند. آمفیبول‌های ادخال نسل اول نسبت به آمفیبول‌های نسل دوم آلومینیوم و آهن بالاتر و منیزیم پائین‌تری دارند (جدول ۱). نسبت  $Al^{IV}/Al^{VI}$  در بلورهای آمفیبول مورد بررسی بین  $79/15$  تا  $10/04$  بوده و این نسبت در تمامی آمفیبول‌ها بیش از  $3/3$  است، بنابراین آمفیبول‌های منطقه در قلمرو آمفیبول‌های آذرین قرار می‌گیرند [۱۵] (شکل ۳). آمفیبول‌های منطقه براساس رده بندی [۱۶] از نوع کلسیک (کلسیم‌دار) هستند. بنا به عقیده‌ی بسیاری از پژوهشگران [۲۱-۲۷] حضور آمفیبول‌های کلسیک در سنگ‌های گرانیتوئیدی نشانه‌ی وابستگی این سنگ‌ها به گرانیتوئیدهای نوع I است. این کانی در رده‌بندی [۱۴] در گروه آمفیبول‌های کلسیک و در زیر رده‌های منیزیو هورنبلند و اکتینولیت



شکل ۳ نمودار نسبت  $Al^{IV}/Al^{VI}$  [۱۵]، تمام بلورهای آمفیبول در گروه آمفیبول‌های آذرین قرار می‌گیرند (علام استفاده شده در نمودار: رنگ سبز مربوط به نمونه‌های تونالیت (Ton)، رنگ قرمز مربوط به نمونه‌های کوارتز دیوریت (Qdio) و رنگ آبی مربوط به آمفیبول ادخال (Amph. InChs) است. علامت‌های دایره‌ی به مرکز بلور (Core)، مثلث به حاشیه بلور (Rim) و علام مربع به فضای بین مرکز و حاشیه بلورها وابسته‌اند (Middle).



شکل ۴ (الف، ب، پ، ت) نمودارهای رده‌بندی و نامگذاری آمفیبول‌ها هستند [۱۴]، آمفیبول‌های تجزیه شده بیشتر زیر رده‌های منیزیوهومنبلند، هورنبلند و اکتینولیت قرار می‌گیرند (علاوه مشابه شکل ۳).



شکل ۵ الف) نمودار  $\text{Ti}$  نسبت به  $\text{Al}^{\text{IV}}$  در آمفیبول‌ها، تمامی آمفیبول‌ها کمتر از  $0.5\text{~atom}$   $\text{Ti}$  در فرمول ساختاری دارند، (ب) نمودار تغییرات نسبت به  $\text{Al}^{\text{VI}}$  [۲۴] نمونه‌های مورد بررسی در یک روند تقریباً خطی قرار می‌گیرند، (پ) نمودار  $\text{Al}^{\text{IV}}$  نسبت به  $\text{Al}^{\text{VI}}$  [۲۵] آمفیبول‌های آنالیز شده دارای روند خطی هستند (علاوه مشابه شکل ۳ است).

(جدول ۲). برای هر یک از سنگ‌های یاد شده، بیشترین میزان به هسته و کمترین میزان مربوط به حاشیه‌ی بلورهای پلازیوکلاز وابسته‌اند (شکل ۶ الف). پرچاک و همکاران [۲۶]

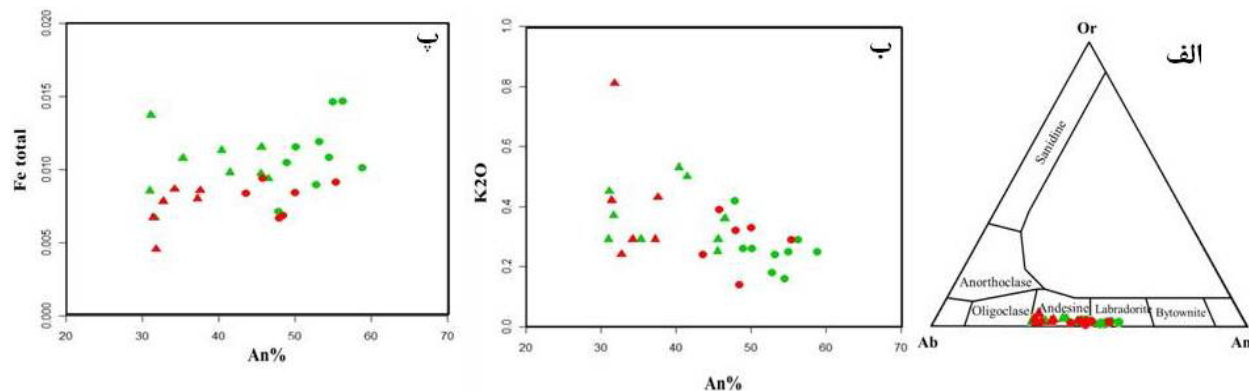
پلازیوکلاز - پلازیوکلازها فراوان‌ترین کانی فلزیک در سنگ‌های نفوذی منطقه‌اند. مقدار عضو انتهایی آنورتیت در تونالیت‌ها  $\text{An}_{31-55}$  و در کوارتزدیوریت‌ها  $\text{An}_{30-58}$  است

کاهش دما در مagmaست. در حقیقت ترکیب عناصر اصلی فنوکریست‌ها همراه با تغییرات ترکیب magma تغییر می‌کند. بررسی‌های انجام شده روی پلازیوکلازهای طبیعی نشان می‌دهد که میزان آهن در پلازیوکلازها با کاهش درصد آنورتیت آن، کاهش می‌یابد [۲۸،۲۷] که این ویژگی‌ها را می‌توان در پلازیوکلازهای منطقه نیز مشاهده کرد (شکل ۶ پ).

معتقدند که نبود میانبار از فازهای دیگر در بخش مرکزی بلورهای پلازیوکلاز و روند خطی آنورتیت نسبت به  $K_2O$  نشان‌دهنده‌ی این است که پلازیوکلاز فاز اصلی magmaست، از ویژگی‌هایی یاد شده در بلورهای پلازیوکلاز بررسی شده است (شکل ۶ ب). به نظر می‌رسد که هسته‌های غنی از آنورتیت در مراحل اولیه‌ی جدایش ایجاد و سپس با پلازیوکلازهایی با درصد آنورتیت کمتر پوشیده شده‌اند، این فرایند نتیجه‌ی

جدول ۲ نتایج ریزپردازش کانی‌های پلازیوکلاز سنگ‌های توده‌ی گرانیت‌وئیدی سرویان.

	کوارتز دیبوریت (176)												تونالیت (182)											
SiO <sub>2</sub>	59,05	55,22	56,07	54,18	58,68	55,42	60,42	55,80	60,35	56,70	58,34	55,49	52,97	60,17	59,33	60,18								
TiO <sub>2</sub>	0,02	0,01	0,02	0,02	0,03	0,02	0,03	0,03	0,02	0,04	0,01	0,01	0,06	0,02	0,00	0,01								
Al <sub>2</sub> O <sub>3</sub>	26,30	29,52	29,24	30,17	28,25	27,64	25,45	28,42	23,43	62,20	25,48	29,28	28,16	24,78	25,43	24,52								
Cr <sub>2</sub> O <sub>3</sub>	0,00	0,00	0,00	0,00	0,02	0,00	0,00	0,00	0,00	0,00	0,00	0,01	0,01	0,00	0,00	0,01	0,01	0,00	0,01	0,01	0,01	0,01	0,01	
FeO	0,23	0,31	0,31	0,29	0,29	0,3	0,37	0,19	0,23	0,25	0,12	0,18	0,24	0,18	0,23	0,23								
MnO	0,00	0,00	0,00	0,00	0,01	0,00	0,00	0,01	0,00	0,00	0,00	0,01	0,00	0,00	0,01	0,00	0,01	0,00	0,01	0,00	0,01	0,00	0,00	
MgO	0,03	0,00	0,00	0,02	0,03	0,09	0,06	0,02	0,03	0,03	0,09	0,02	0,00	0,03	0,01	0,02	0,00	0,03	0,01	0,01	0,02			
CaO	6,72	10,16	9,22	11,05	7,68	9,33	6,31	9,78	7,4	10,26	8,14	10,33	11,71	6,95	7,06	7,22								
Na <sub>2</sub> O	8,09	5,42	5,89	5,00	7,59	7,27	7,43	5,63	7,68	6,48	7,57	6	5,03	8,11	7,12	7,05								
K <sub>2</sub> O	0,29	0,26	0,29	0,16	0,29	0,53	0,45	0,42	0,29	0,39	0,81	0,32	0,29	0,42	0,43	0,24								
Total	100,73	100,91	101,06	100,89	100,87	100,6	100,52	100,31	99,43	100,35	99,26	101,65	99,48	100,66	100,63	100,47								
Si	10,49	9,86	9,97	9,70	10,44	9,99	10,71	10,01	10,85	10,22	10,54	9,86	9,83	10,7	10,57	10,72								
Ti	0,00	0,00	0,00	0,00	0,00	0,00	0,00	0,00	0,00	0,01	0,00	0,00	0,01	0,00	0,00	0,00								
Al	5,51	6,21	6,13	6,37	5,50	5,87	5,32	6,01	4,97	5,57	5,43	6,13	6,05	5,19	5,34	5,15								
Cr	0,00	0,00	0,00	0,00	0,00	0,00	0,00	0,00	0,00	0,00	0,00	0,00	0,00	0,00	0,00	0,00								
Fe <sup>3+</sup>	0,00	0,00	0,00	0,00	0,00	0,00	0,00	0,00	0,00	0,00	0,00	0,00	0,00	0,00	0,00	0,00								
Fe <sup>2+</sup>	0,03	0,05	0,05	0,04	0,04	0,05	0,05	0,03	0,03	0,04	0,02	0,03	0,04	0,03	0,03	0,03								
Mn	0,00	0,00	0,00	0,00	0,00	0,00	0,00	0,00	0,00	0,00	0,00	0,00	0,00	0,00	0,00	0,00								
Mg	0,01	0,00	0,00	0,01	0,01	0,02	0,02	0,01	0,01	0,01	0,02	0,01	0,00	0,01	0,01	0,01								
Ca	1,28	1,94	1,76	2,12	1,46	1,8	1,2	1,88	1,43	1,98	1,32	1,97	2,29	1,32	1,54	1,38								
Na	2,79	1,88	2,03	1,74	2,62	2,54	2,55	1,96	2,68	2,26	2,65	2,07	1,78	2,8	2,46	2,78								
K	0,7	0,06	0,07	0,04	0,07	0,12	0,1	0,1	0,07	0,09	0,19	0,07	0,07	0,1	0,05	0,05								
Sum Cat	20,18	20,00	20,01	20,00	20,15	20,4	19,96	20	20,03	20,17	20,17	20,14	20,08	20,15	20,04	20,12								
Ab %	67,45	48,37	52,70	44,60	63,12	56,91	66,26	49,78	64,21	52,23	63,71	50,34	42,02	66,33	60,05	66								
An %	30,96	50,10	45,59	54,46	35,29	40,36	31,1	47,78	34,19	45,7	31,81	47,89	55,35	31,41	37,56	32,71								
Or %	1,59	1,53	1,71	0,94	1,59	2,73	2,64	2,44	1,6	2,07	4,49	1,77	1,63	2,26	2,39	1,29								



شکل ۶ (الف) ترکیب پلازیوکلاز های منطقه ای، پلازیوکلاز های توده ای نفوذی منطقه در گستره آندزین تا اواسط لابرادوریت قرار می گیرد، (ب) نمودار تغییرات An در برابر  $K_2O$  موجود در پلازیوکلازها، روند خطی نشانگر آنست که پلازیوکلاز فاز اصلی ماقما است، (پ) نمایش تغییرات میزان آهن کل در پلازیوکلاز نسبت به میزان An، میزان آهن با افزایش درصد آئورتیت تا حدودی افزایش می یابد (علام مشابه شکل ۳ است).

۲ کیلو بار، تأثیر دما روی  $Al^T$  به قدری زیاد است که مستقل از فشار عمل می کند. بدین سبب از فشارسنجدی [۵] که در فشارهای کمتر از ۲ کیلو بار قبل کاربرد است و خطای اندازه گیری کمتری دارد، برای محاسبه فشار تشکیل آمفیبول در سنگ های تونالیتی و کوارتزدیوریتی منطقه ای مورد بررسی، از رابطه زیر استفاده شده است:

$$P(\pm 0.6 \text{ Kbar}) = 4.76 Al^T - 3.0 \quad (\text{معادله ۱})$$

میانگین فشارهای محاسبه شده از روش [۵]، در سنگ های تونالیتی  $0.85$ ،  $1.38$  و  $1.75$  کیلوبار، در سنگ های کوارتزدیوریتی  $1.21$  و  $1.91$  کیلوبار و میانگین فشار محاسبه شده روی آمفیبول هایی که به صورت ادخال در آمفیبول های دیگر هستند (به صورت بافت پوئی کیلیتیک)  $2.6$  کیلوبار است. فشار  $2.6$  کیلوبار آمفیبول های ادخال موید این واقعیت است که تبلور اولیه آمفیبول در عمق بیشتر شروع شده است. فشارهای فشارهای اندازه گیری شده از مرکز آمفیبول است، اختلاف اندک فشارهای محاسبه شده از هسته با حاشیه آمفیبول های نسل دوم بیانگر این واقعیت است که فشار به دست آمده از مرکز آمفیبول، در مراحل اولیه تبلور است، در صورتی که فشارهای به دست آمده از حاشیه بلور، نماینده فشار جایگزینی سنگ های اسیدی تر است. با توجه به نمودار (شکل ۷ الف)، که بر اساس مقادیر  $Al^T$  نسبت به  $Fe/Fe+Mg$  رسم شده است [۵]، می توان گستره فشاری در حدود  $0.8-1.8$  کیلوبار برای تونالیت،  $1-2$  برای کوارتزدیوریت و  $2.5$  کیلوبار

## بحث

### زمین فشارسنجدی

بررسی ها نشان می دهد که میزان  $Al$  در هورنبلند با فشار تبلور رابطه هی خطی دارد و بر این اساس تعیین عمق جایگزینی توده امکان پذیر است [۲۹]. لازمه استفاده از فشارسنجدی آمفیبول، تشکیل دوگانه کانیایی هورنبلند، کوارتز، فلدسپار پتاسیم، بیوتیت، مگنتیت و تیتانیت اولیه در شرایط تعادلی است [۲۹]. توده نفوذی سرویان متشکل از کانی های کوارتز، فلدسپار پتاسیم، پلازیوکلاز، آمفیبول، بیوتیت، مگنتیت و ایلمنیت است. این توده گریزندگی اکسیژن بالای،  $Ca > 1.5$  و  $Si < 7.5$  دارد [۸]، و هورنبلند در تماس با کوارتز و فلدسپار پتاسیم است. در محاسبات از آمفیبول هایی با ترکیب اکتینولیت چشم پوشی شده است، زیرا احتمال دارد اکتینولیت در فازهای زیر نقطه انجماد و در اثر دگرسانی تشکیل شده باشد [۳۰].

تاکنون روش های متعددی برای محاسبه فشار با استفاده از ترکیب هورنبلند ارائه شده اند [۴، ۸-۱۳]، در همه روش ها (به جز روش [۴])، فشار تنها بر اساس مقدار آلومینیوم موجود در هورنبلند و بدون توجه به پارامترهایی مانند دما محاسبه شده است. اغلب فشارسنجهای یاد شده در فشارهای بالا کاربرد دارد، مقادیر فشار به دست آمده برای تشکیل سنگ های توده ای نفوذی منطقه (تونالیت ها و کوارتزدیوریت ها) گاهی کمتر (و حتی منفی) از میزان خطای فرمول فشارسنجدی است که با فشار منطقه سازگاری ندارد. هولیستر [۷] معتقد است که در سنگ های تونالیت و گرانوئدیوریتی با فشار کمتر از

با پلازیوکلاز ارائه کردند:  
 $T = 25.3P[\text{kbar}] + 654.9$  (معادله ۲)

بر پایه‌ی فرمول بالا دمای تعادل در تونالیت، کوارتزدیوریت و آمفیبیول‌های ادخال به ترتیب  $690^\circ\text{C}$ ,  $694^\circ\text{C}$  و  $720^\circ\text{C}$  درجه‌ی سانتی‌گراد به دست آمدند.

هولند و بلوندی [۳۵] دو دماسنجه دیگر پیشنهاد کردند؛ زمین دماسنجه اول بر پایه‌ی واکنش ادنیت-ترمولیت که تنها در سنگ‌های آذرین و دگرگون کوارتز دار کاربرد دارد. زمین دماسنجه دوم معرفی شده به روش [۳۵] بر اساس واکنش ادنیت-ریکتریت محاسبه شده که در سنگ‌های آذرین و دگرگون کوارتزدار و بدون کوارتز قابل استفاده است. میانگین دمای تعادل بر اساس واکنش ادنیت-ترمولیت در تونالیت‌ها و کوارتزدیوریت‌ها و آمفیبیول‌های ادخال به ترتیب برابر  $759^\circ\text{C}$ ,  $795^\circ\text{C}$  و  $875^\circ\text{C}$  درجه‌ی سانتی‌گراد برآورد شده است. دمای تعادل آمفیبیول و پلازیوکلاز بر اساس واکنش ادنیت-ریکتریت در نمونه‌های تونالیتی  $780^\circ\text{C}$  درجه‌ی سانتی‌گراد، در نمونه‌های کوارتزدیوریتی  $732^\circ\text{C}$  درجه‌ی سانتی‌گراد و در نمونه‌های آمفیبیول ادخال درجه‌ی سانتی‌گراد به دست آمدند. در جدول ۳ نتایج حاصل از زمین دماسنجه‌های مختلف یاد شده، برای مقایسه آورده شده اند. میانگین دمای محاسبه شده به روش دماسنجه‌ای  $28.3^\circ\text{C}$  و روش [۳۵] (بر اساس واکنش ادنیت-ترمولیت) بسیار به هم نزدیک‌اند، ولی میانگین دمای محاسبه شده به روش [۳۵] (بر اساس واکنش ادنیت-ریکتریت) در حدود  $60-70^\circ\text{C}$  درجه‌ی سانتی‌گراد بالاتر از روش‌های دیگر است. آندرسون [۳۶] روش دماسنجه [۳۵] (بر اساس واکنش ادنیت-ریکتریت) برتر را از روش [۳۵] (بر اساس واکنش ادنیت-ترمولیت) می‌داند، ولی به نظر می‌رسد دمای محاسبه شده به روش دماسنجه [۳۵] (بر اساس واکنش ادنیت-ترمولیت) برای سنگ‌های توده‌ی گرانیت‌وئیدی سرویان به واقعیت نزدیک‌تر است. دمای تعادل آمفیبیول-پلازیوکلاز در نمونه‌های آمفیبیول ادخال حدود  $60-80^\circ\text{C}$  درجه‌ی سانتی‌گراد بالاتر از دمای تعادل در نمونه‌های تونالیت و کوارتزدیوریت است، که نشان می‌دهد که هسته‌های آمفیبیول‌های اولیه در فشار و دمای بالاتری تشکیل شده‌اند، ولی با صعود مagma و کاهش دما، هسته‌های ثانویه آمفیبیول تشکیل شده و به دلیل رشد سریع‌تر، آمفیبیول‌های اولیه را در بر گرفته است.

برای آمفیبیول‌های ادخال برآورد کرد که با نتایج فشارهای به دست آمده با روش [۵] همخوانی دارد.

### زمین دماسنجه

روش‌های متعددی برای تعیین دمای توده‌های نفوذی آهکی-قلیایی اسیدی و حدواتر معرفی شده اند. هولیستر [۷]. معتقد است که دمای مagma آبدار با ترکیب تونالیتی تا گرانودیوریتی (مستقل از فشار) بین  $700$  تا  $900^\circ\text{C}$  درجه‌ی سانتی‌گراد متغیر است. به عقیده‌ی آندرسن [۳۳] که مقدار Ti در هورنبلند با افزایش دما، افزایش می‌یابد. هلز [۳۴] با استفاده از تغییرات مقدار Al نسبت به Ti در واحد فرمولی آمفیبیول‌ها، دمای تشکیل این کانی‌ها را ارزیابی کرده است، در این پژوهش با استفاده از تغییرات Ti نسبت به Al<sup>IV</sup> دمای حدود  $700^\circ\text{C}$  درجه‌ی سانتی‌گراد برای تبلور آمفیبیول‌های منطقه‌ی مورد بررسی به دست آمده است (شکل ۷ ب).

### زمین دماسنجه هورنبلند-پلازیوکلاز

کاربردی‌ترین روش تعیین دمای توده‌های نفوذی گرانیت‌وئیدی، روش دماسنجه هورنبلند-پلازیوکلاز است، گرچه هنوز تردیدهایی در مورد این روش وجود دارد، ولی تا به امروز یکی از روش‌های متدالو برای دماسنجه سنگ‌های آهکی-قلیایی محسوب می‌شود [۲]. بلوندی و هولند [۳] روشی را برای دماسنجه بر اساس واکنش ادنیت-ترمولیت با استفاده از زوج آمفیبیول-پلازیوکلاز همزیست ارائه کردند. برای محاسبه دما با این روش باید هورنبلند و پلازیوکلاز به صورت همزیست در کنار هم حضور داشته و هورنبلند قادر حاشیه اکتینولیتی باشد [۲۹]. این روش تنها در سنگ‌های اسیدی و حدواتر کوارتزدار، پلازیوکلاز با ترکیب  $\text{An} < 0.92$ ,  $\text{Si} \leq 7.8$  باشند، کاربرد دارد و برای دماهای بین  $500$  تا  $1100^\circ\text{C}$  درجه‌ی سانتی‌گراد قابل استفاده است. با استفاده از این روش دمای تعادل آمفیبیول و پلازیوکلاز در نمونه‌های تونالیتی برابر با  $716^\circ\text{C}$  درجه‌ی سانتی‌گراد، برای نمونه‌های کوارتزدیوریتی  $723^\circ\text{C}$  درجه‌ی سانتی‌گراد و برای نمونه‌های آمفیبیول ادخال  $804^\circ\text{C}$  درجه‌ی سانتی‌گراد برآورد شده است.

ویهنا [۲۹] رابطه‌ی زیر را در فشار  $1-20$  کیلوبار و گرینزندگی HM-QFM برای تعیین دمای تعادل هورنبلندهای همزیست

جدول ۳ دمای تشکیل بلور آمفیبیول‌های مختلف توده نفوذی سرویان با استفاده از روش‌های دماسنگی زوج هورنبلند-پلازیوکلار. حرارت محاسبه شده به روش بلوندی و هولندی [۳۱]، روش وینال [۲۹]، روش هولند و بلوندی ۱ (بر اساس واکنش آدنیت-ترمولیت)، [۳۵]، روش هولند و بلوندی ۲ (بر اساس واکنش آدنیت-ریکتریت) [۳۵].

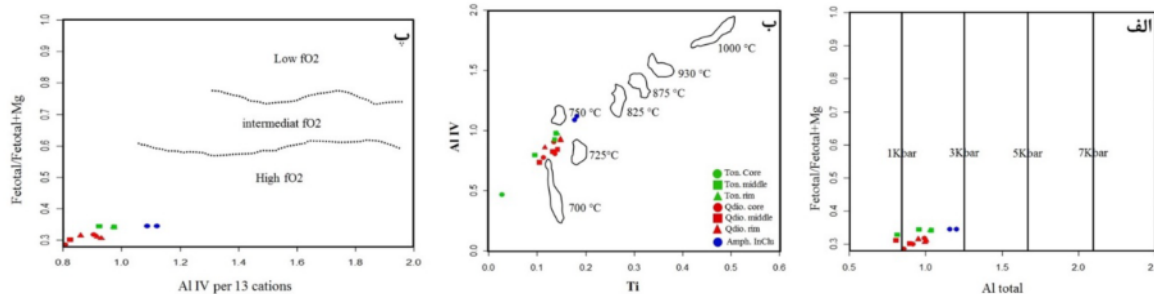
شماره نمونه‌ها	P(Kb) [۵]	T(°C) بلوندی و هولندی [۳]	T(°C) وینال [۲۷]	T(°C) هولند و بلوندی ۱ [۳۳]	T(°C) هولند و بلوندی ۲ [۳۳]
182Ac (تونالیت)	۱,۰۷	۷۲۲,۸	۶۸۱,۹	۸۰۰,۹	۷۹۹,۳
182Am (تونالیت)	۰,۸۳	۶۹۸,۸	۶۷۵,۹	۷۳۹,۶	۷۹۸,۹
182Ar (تونالیت)	۱,۵۲	۶۸۸,۷	۶۹۳,۲	۷۲۴,۳	۷۳۹,۲
182Bc (تونالیت)	۱,۷۱	۷۴۴,۱	۶۹۸,۲	۷۷۳,۷	۸۰۰,۲
182Bm (تونالیت)	۱,۲۵	۷۰,۹	۶۸۶,۵	۷۶۸,۵	۷۷۷,۷
182Br (تونالیت)	۱,۷۷	۶۹۸,۶	۶۹۹,۶	۷۵۵,۲	۷۵۷,۲
182Cc (تونالیت)	۱,۳۵	۷۴۳,۶	۶۸۸,۹	۷۴۱,۲	۷۹۹
182Cm (تونالیت)	۱,۴۳	۷۳۰,۴	۶۹۱	۷۶۵,۱	۸۰۷,۴
182Cr (تونالیت)	۱,۷۲	۶۹۶,۸	۶۹۸	۷۶۹,۲	۷۴۵,۹
متوسط	۱,۴۰	۷۱۶	۶۹۰	۷۵۹,۷	۷۸۰,۵
176Am1 (کوارتز دیبوریت)	۰,۸۶	۷۳۲,۲	۶۷۶,۷	۷۹۸,۲	۷۰۹,۸
176Am (کوارتز دیبوریت)	۱,۵۵	۷۴۴,۵	۶۹۴	۸۲۶,۵	۷۴۴,۸
176Am3 (کوارتز دیبوریت)	۱,۹۳	۷۱۵,۲	۷۰۳,۷	۷۷۴,۶	۷۴۲,۳
176Ar (کوارتز دیبوریت)	۱,۸۹	۷۰,۲	۷۰۲,۷	۷۸۰,۸	۷۲۳,۱
متوسط	۱,۵۶	۷۲۲,۵	۶۹۴,۳	۷۹۵	۷۲۲,۵
176Bc (آمفیبیول ادخال)	۲,۴۹	۸۲۱,۶	۷۱۷,۹	۸۹۹,۹	۸۴۳,۲
176Br (آمفیبیول ادخال)	۲,۷۰	۷۸۷,۵	۷۲۳,۲	۸۵۰,۶	۸۱۴,۷
متوسط	۲,۶۰	۸۰۴,۵	۷۲۰,۵	۸۷۵,۲	۸۲۸,۹

گرانیتوئیدهای منطقه‌ی میین بالا بودن گریزندگی اکسیژن در ماقمای سازنده این سنگ‌هاست [۳۷]. در نمودار (شکل ۷ پ) میزان نسبی گریزندگی اکسیژن بر اساس نسبت  $\text{Al}^{IV}$  به  $\text{Fe}/(\text{Fe}+\text{Mg})$ ، آمفیبیول‌ها مشخص شده اند [۴]. بر اساس این نمودار میزان نسبی گریزندگی اکسیژن در زمان تبلور آمفیبیول‌های مورد بررسی بالا بوده است. مقدار کمی گریزندگی اکسیژن در زمان تشکیل سنگ‌های گرانیتوئیدی منطقه بر اساس رابطه‌ی زیر برابر با  $-11,06 - \frac{1}{15,76}$  است.

(معادله‌ی ۳)

$$\log f\text{O}_2 = -30930/T + 14.98 + 0.142(P-1)/T$$

محاسبه‌ی گریزندگی اکسیژن آمفیبیول‌ها یکی از فراوان ترین کانی‌های مافیک در توده‌ی نفوذی سرویان هستند، که گویای غنی بودن ماقمای در حال تبلور از سازنده آب است. تغییر ترکیب آمفیبیول‌ها، ناشی از تغییر در گریزندگی اکسیژن و فعالیت‌های سیلیس ماقمایی است. در واقع هر چه گریزندگی اکسیژن کمتر باشد،  $\text{Fe}^{3+}$  می‌تواند به مقدار بیشتری در شبکه‌ی هورنبلند جایگزین شود. بالا بودن نسبت  $\text{Fe}^{3+}/(\text{Fe}^{2+} + \text{Mg})$  باعث جانشینی بیشتر Mg به وسیله‌ی Al می‌شود [۲]. قابل یاد آوری است که حضور همزمان مگنتیت، اسفن و کوارتز همراه با آمفیبیول در



شکل ۷ (الف) نمودار  $\text{Al}^{IV}$  نسبت به  $\text{Fe}/(\text{Fe}+\text{Mg})$  [۵]، در این نمودار گستره‌ی فشار تبلور کانی آمفیبیول در سنگ‌های تونالیت و کوارتزدیبوریت برآورده است، (ب) محاسبه‌ی تقریبی دمای تشکیل آمفیبیول‌های توده‌ی گرانیتوئیدی سرویان بر اساس روش [۳۵]، (پ) نمودار تعیین گریزندگی اکسیژن بر پایه‌ی ترکیب آمفیبیول‌ها [۴]، نمودار نشان دهنده بالا بودن نسبی گریزندگی اکسیژن در زمان تبلور آمفیبیول است (علاوه مشابه شکل ۳ است).

- Canada", Canadian Mineralogist 38 (2000) 455-470.*
- [2] Stein E., Dietl C., "Hornblende thermobarometry of granitoids from the Central Odenwald (Germany) and their implications for the geotectonic development of the Odenwald", *Mineralogy and Petrology 72 (2001) 185-207.*
- [3] Blundy J.D., Holland T.J. B., "Calcic amphibole equilibria and a new amphibole plagioclase geothermometer", *Contributions to Mineralogy and Petrology 104 (1990) 208-224.*
- [4] Anderson J.L, Smith D.R., "The effects of temperature and  $fO_2$  on the Al-in-hornblende barometer", *American Mineralogist 80 (1995) 549-559.*
- [5] Schmidt M.W., "Amphibole composition in tonalite as a function of pressure an experimental calibration of the Al-hornblende barometer", *Contribution to Mineralogy and Petrology 110 (1992) 304-310.*
- [6] Johnson M.C., Rutherford M.J., "Experimental calibration of the aluminum-in-hornblende geobarometer with applications to Long Valley Caldera (California) volcanic rocks", *Geology 17 (1989) 837-841.*
- [7] Hollister L.S., Grissom G.C., Peters E.K., Stowell H.H., Sisson V.B., "Confirmation of the empirical correlation of Al in hornblende with pressure of solidification of clac-alkaline plutons", *American Mineralogist 72 (1987) 231-239.*
- [8] Hammarstrom J.M., Zen E., "Aluminum in hornblende: An empirical igneous geobarometer", *American Mineralogist 71(1986) 1297-1313.*
- [۹] قلمقاش ج., باباخانی ع.ر., " نقشه زمین شناسی ۱/۱۰۰۰۰۰ کهک" انتشارات سازمان زمین شناسی و اکتشافات معدنی کشور (۱۳۷۲).
- [۱۰] ندری ر., محجل م., بحروفی ع., "سامانه گسل امتداد لغز بیدهند (جنوب قم)"، مجله علوم زمین، شماره ۷۴ (۱۳۸۸) ص ۱۷۷-۱۸۴.
- [۱۱] قلمقاش ج., "مطالعه پلوتونیسم ترشیری در منطقه جنوب قم (محدوده ورقه ۱:۱۰۰۰۰ کهک)"، پایان نامه کارشناسی ارشد، دانشگاه شهید بهشتی (۱۳۷۴).
- [12] Kretz R., "Symbols for rocks forming minerals", *American Mineralogist 68 (1983) 227-279.*
- [13] Droop G.T.R., "A general equation for estimating  $Fe^{3+}$  in ferromagnesian silicates and oxides from microprobe analysis, using stoichiometric criteria", *Mineralogical Magazine 51 (1987) 431-437.*
- [14] Leake B.E., Woolly A.R., Arps C.E.S., Birch W.D., Gilbert M.C., Grice J.D., Hawthorne F.C.,
- برداشت
- توده‌ی گرانیتوئیدی سرویان شامل سنگ‌های اسیدی و حدواست بوده و از سنگ‌های گرانیت، گرانوپوریت، تونالیت و کوارتزدیوریت تشکیل شده است. تمامی آمفیبول‌های مورد بررسی در سنگ‌های تونالیتی و کوارتزدیوریتی طی فرآیندهای آذرین تشکیل شده و در گروه آمفیبول‌های کلسیک و زیر گروه‌های منیزیوهرنبند و اکتینولیت هورنبند قرار می‌گیرند که شاخص توده‌های نفوذی نوع I است. ترکیب این کانی از منیزیوهرنبند در مرکز بلور تا اکتینولیت هورنبند در حاشیه-ی بلور، تغییر می‌کند که نشان دهنده تغییر شرایط فیزیکوشیمیایی ماغما در آخرین مراحل تبلور آن است. ترکیب پلازیوکلازها در سنگ‌های تونالیتی و کوارتزدیوریتی در گستره-ی آندزین تا لابرادوریت قرار می‌گیرد. نسبت  $K_2O$  در پلازیوکلازها نسبت به درصد آنورتیت روند خطی دارد که نشان می‌دهد پلازیوکلازها فاز اصلی کانیایی ماغما هستند. بررسی زمین فشارسنگی بر پایه‌ی آلومینیم در هورنبندها، نشان دهنده فشار تبلور آمفیبول برابر با ۱۴ کیلوبار در تونالیت، ۱۵۶ کیلوبار در کوارتزدیوریت و ۲۶ کیلوبار در آمفیبول‌های ادخال است. این فشارها گویای شکل‌گیری این توده‌های جوان در عمق کم پوسته است. میانگین دمای تعادل آمفیبول-پلازیوکلاز بر اساس واکنش آدنیت-ترمولیت، در ۷۵۹/۷ در تونالیت، ۷۹۵ در کوارتزدیوریت و ۸۷۵/۲ درجه‌ی سانتیگراد در آمفیبول‌های ادخال به دست آمده است. دما و فشار محاسبه شده در آمفیبول‌های ادخال نسبت به آمفیبول‌های درشت بلور در زمینه‌ی سنگ‌های تونالیتی و کوارتزدیوریتی بالاتر است که بیانگر تشکیل دو نسل متفاوت آمفیبول است، هسته‌های آمفیبول‌های اولیه در عمق بیشتر و دما و فشار بالاتری تشکیل شده‌اند، ولی با صعود ماغما و کاهش فشار و دما، هسته‌های ثانویه آمفیبول شکل گرفته و به سبب رشد سریع‌تر، آمفیبول‌های اولیه را احاطه کرده‌اند. حضور همزمان مگنتیت، اسفن، کوارتز به همراه آمفیبول در سنگ‌های توده‌ی نفوذی سرویان، نشان دهنده‌ی بالا بودن گریزندگی اکسیژن در مagma‌ی سرویان، این سنگ‌هاست و مقدار کمی  $\log fO_2$  در زمان تشکیل سنگ‌های گرانیتوئیدی سرویان -۱۱,۰۶- تا -۱۵,۷۶- بوده است.
- مراجع
- [1] Stone D., "Temperature and pressure Variations in suites of Archean felsic plutonic rocks, Berens River area, North west superior province Ontario,

- plagioclase: Implications on the evolution of granodiorite magma (Gesiniec granodiorite, Strzelin Crystalline Massif, SW Poland)", Lithos 86 (2006) 260-280.*
- [27] Smith J.V., "Phase equilibria of plagioclase, In: Ribbe PH (ed) *Feldspar mineralogy, 2nd edn*", Mineralogical Society of America, Washington DC, Reviews in Mineralogy 2 (1983) 223- 239.
- [28] Smith J.V., Brown W.L., "Feldspar minerals, Crystal structures, physical, chemical and microtextural properties", Springer, Berlin-Heidelberg-New York (1988) 828p.
- [29] Vyhnal C.R., McSween H.Y., Speer J.A., "Hornblende Chemistry in Southern Appalachian Granitoids: implications for aluminum hornblende thermo barometry and magmatic epidote stability", American Mineralogist 76 (1991) 176-188.
- [30] Helmy H.M., Ahmed A.F., El Mahallawi, M.M., Ali S.M., "Pressure, temperature and oxygen fugacity conditions of calc-alkaline granitoids, Eastern Desert of Egypt and tectonic implication", Journal of African Earth Science 38 (2004) 255-268.
- [31] Thomas W.M., Ernst W.G., "The aluminium content of hornblende in calc-alkaline granitic rocks: A mineralogic barometer calibrated experimentally to 12kbar: In: Spencer R.J. and Chou I.M (Eds.), *Fluid-mineral interactions: A tribute to HP Eugster*", The Geochemical Society Special Publication 2 (1990) 59-63.
- [32] Poli S., Schmidt M.W., "A comment on calcic-amphibole equilibria and a new amphibole-plagioclase geothermometer by Blundy J.D. and Holland, T.J.B", contribution to mineralogy and petrology 111 (1992) 273-282.
- [33] Anderson J.L., "Proterozoic anorogenic granite plutonism of North American", Geological Society of America Memoir 161 (1983) 133-152.
- [34] Helz R., "Phase reactions of basalts in their melting range at  $P\text{H}_2\text{O}=5\text{kb}$ , Part 11, Melt composition", Journal of Petrology 17 (1993) 139-193.
- [35] Holland T., Blundy J., "Non-ideal interactions in calcic-amphiboles and their bearing on amphibole-plagioclase thermometry", Contribution to Mineralogy and Petrology 116 (1994) 433-447.
- [36] Anderson J.L., "Status of thermo-barometry in granitic batholiths", Earth Science Review 87 (1996) 125-138.
- [37] Wones D.R., "Significance of the assemblage titanite + mognetitet + quartz in granitic rocks", American Mineralogist 74 (1989) 744-749.
- Kato A., Kisch H.J., Krivovichev V.G., Linthout K., Laird J., Mandarino J., Maresch W.V., Nickel E.h., Rock N.M.S., Schmucher J.C., Smith D.C., Stephenson N.C.N, Unungaretti L., Whittaker E.J.W., Youzhi G., "Nomenclature of Amphiboles, Report of the Subcommittee on Amphiboles of the International Mineralogical Association Commission on New Minerals Names", European Journal of Mineralogy 9 (1997) 623-651.
- [15] Fleet M. E., Barnett R. L., "Partitioning in calciferous amphiboles from the Frood mine, Sudbury, Ontario", The Canadian Mineralogist 16 (1978) 527 – 532.
- [16] Deer W.A., Howie R.A., Zussman J., "An Introduction to the Rock Forming Minerals", 17th, Longman, Ltd (1991) 528.
- [17] Clemens J.D., Wall V.J., "Origin and evolution of a peraluminous silicic ignimbrite suite: the Violet Town Volcanics", Contribution to Mineralogy and Petrology 88(1984) 354-371.
- [18] Hense-Klaiber U., "Zur Geochemie der variszischen granitoid des bergstrasser Odenwaldes", thesis, Tu Karlsruhe (1992) 264P.
- [19] Chappel B.W., White A.J.R., "Two contrasting granite types", Pasific Geology 8 (1974) 173-174.
- [20] Wyborn D., Chappel B.W., Johnston R.M., "Three S type volcanic suites from the Lachlan Fold Belt, Southeast Australia", Journal Geophysics Research 86 (1981) 10335-10348.
- [21] White A.J.R., Chapple B.W., "Granitoid types and their distribution in the Lachlan Fold Belt, southeastern Australia", Geological Society American Memory 159 (1983) 21-34.
- [22] Celic O.F., Delaloye M.F., "Characteristics of ophiolite related metamorphic rocks in the Beysehir ophiolitic mélange (central taurides, Turkey), Deduced from whole rock and mineral chemistry", J. of Asian Earth Science 26 (2006) 452-476.
- [۲۳] هنرمند م., مؤید م., جهانگیری ا., احمدیان ج., "کانی شناسی، دما-فشار-سنگی و تعیین سری ماگمایی مجموعه آذرین نفوذی نظرز", مجله بلورشناسی و کانی شناسی، شماره ۳ (۱۳۸۸) ص ۳۴۲-۳۲۵
- [24] Jarrar G.H, "Mineral chemistry in dioritic hornblendite from Wadi Araba, Southwest Jordan", Journal of African Earth Sciences 26 (1998) 285-295.
- [25] Kharbish S., "Geochemistry and magmatic setting of Wadi El-Markh island-arc gabbro-diorite suite, central Eastern Desert, Egypt", Chemie der Erde 70 (2010) 257–266.
- [26] Pietranik A., Koepke J., Puziewicz J., "Crystallization and resorption in plutonic